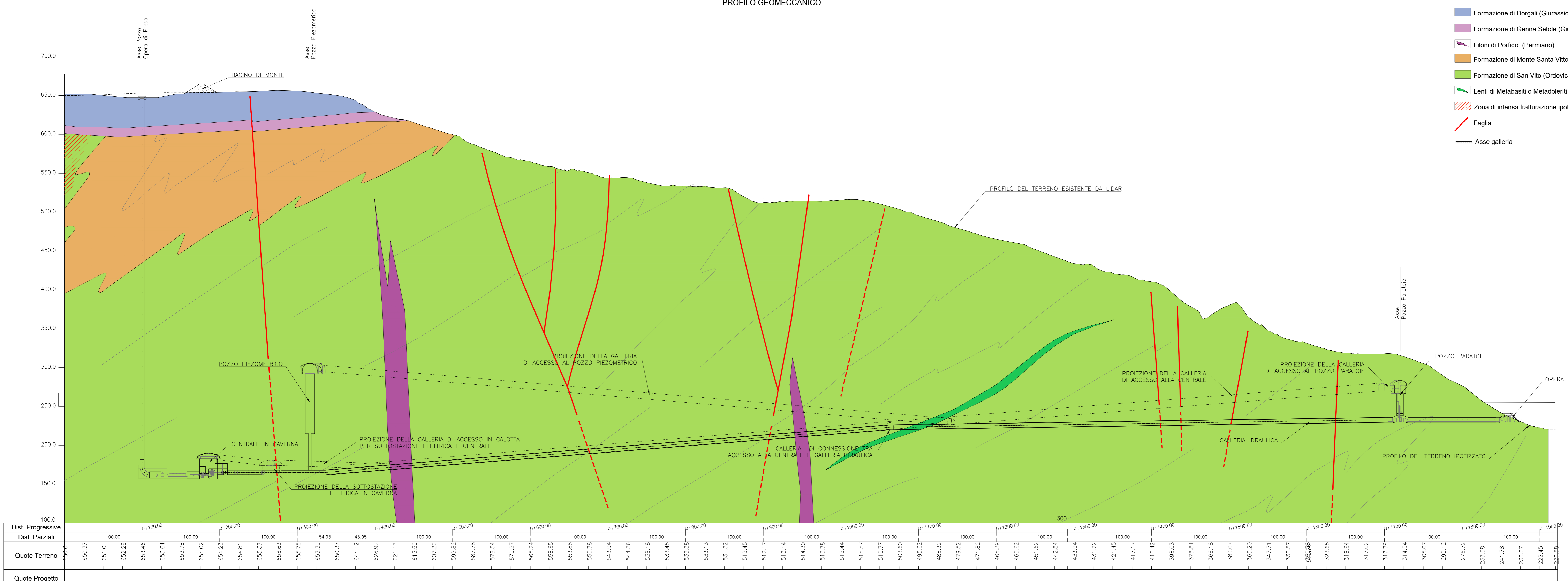


GALLERIA IDRAULICA

SCALA 1:2000

PROFILO GEOMECCANICO



- LEGENDA**
- Formazione di Dorgali (Giurassico Medio-Superiore)
 - Formazione di Genna Setole (Giurassico Medio)
 - Filoni di Porfido (Permiano)
 - Formazione di Monte Santa Vittoria (Ordoviciano? Medio)
 - Formazione di San Vito (Ordoviciano Inferiore? Medio)
 - Lenti di Metabasiti o Metadoleriti (Ordoviciano Inferiore? Medio)
 - Zona di intensa fratturazione ipotizzata dalla geofisica
 - Faglia
 - Asse galleria

Dist. Progressive	Dist. Parziali	Quote Terreno	Quote Progetto (Asse Condotta)
0	0	650.37	650.37
100.00	100.00	651.01	651.01
200.00	200.00	652.28	652.28
300.00	300.00	653.46	653.46
400.00	400.00	653.84	653.84
500.00	500.00	653.78	653.78
600.00	600.00	654.02	654.02
700.00	700.00	654.23	654.23
800.00	800.00	654.81	654.81
900.00	900.00	655.37	655.37
1000.00	1000.00	656.63	656.63
1100.00	1100.00	657.78	657.78
1200.00	1200.00	658.30	658.30
1300.00	1300.00	658.37	658.37
1400.00	1400.00	644.12	644.12
1500.00	1500.00	628.32	628.32
1600.00	1600.00	621.13	621.13
1700.00	1700.00	615.50	615.50
1800.00	1800.00	607.20	607.20
1900.00	1900.00	599.82	599.82
2000.00	2000.00	587.78	587.78
2100.00	2100.00	578.54	578.54
2200.00	2200.00	570.27	570.27
2300.00	2300.00	565.24	565.24
2400.00	2400.00	558.85	558.85
2500.00	2500.00	553.88	553.88
2600.00	2600.00	550.78	550.78
2700.00	2700.00	543.94	543.94
2800.00	2800.00	544.36	544.36
2900.00	2900.00	538.18	538.18
3000.00	3000.00	533.45	533.45
3100.00	3100.00	533.38	533.38
3200.00	3200.00	533.13	533.13
3300.00	3300.00	531.32	531.32
3400.00	3400.00	519.45	519.45
3500.00	3500.00	512.17	512.17
3600.00	3600.00	513.14	513.14
3700.00	3700.00	514.30	514.30
3800.00	3800.00	513.78	513.78
3900.00	3900.00	515.44	515.44
4000.00	4000.00	515.57	515.57
4100.00	4100.00	510.77	510.77
4200.00	4200.00	505.60	505.60
4300.00	4300.00	495.92	495.92
4400.00	4400.00	488.39	488.39
4500.00	4500.00	479.50	479.50
4600.00	4600.00	471.82	471.82
4700.00	4700.00	465.38	465.38
4800.00	4800.00	460.62	460.62
4900.00	4900.00	451.62	451.62
5000.00	5000.00	442.84	442.84
5100.00	5100.00	433.94	433.94
5200.00	5200.00	431.22	431.22
5300.00	5300.00	421.45	421.45
5400.00	5400.00	417.17	417.17
5500.00	5500.00	410.42	410.42
5600.00	5600.00	398.03	398.03
5700.00	5700.00	378.81	378.81
5800.00	5800.00	366.18	366.18
5900.00	5900.00	380.07	380.07
6000.00	6000.00	365.20	365.20
6100.00	6100.00	347.71	347.71
6200.00	6200.00	336.57	336.57
6300.00	6300.00	328.98	328.98
6400.00	6400.00	323.65	323.65
6500.00	6500.00	318.64	318.64
6600.00	6600.00	317.02	317.02
6700.00	6700.00	317.79	317.79
6800.00	6800.00	314.94	314.94
6900.00	6900.00	305.07	305.07
7000.00	7000.00	290.12	290.12
7100.00	7100.00	276.78	276.78
7200.00	7200.00	257.58	257.58
7300.00	7300.00	241.78	241.78
7400.00	7400.00	230.67	230.67
7500.00	7500.00	222.45	222.45
7600.00	7600.00	220.58	220.58

GEOLOGIA e IDROGEOLOGIA	Coperture da calotta (m)																				
	Litotipo	METARENARIE MICACEE, QUARZITI CON RARE METARENARIE FELDSPATICHE E METAGROVACCHE				PORFIDO	METARENARIE MICACEE, QUARZITI CON RARE METARENARIE FELDSPATICHE E METAGROVACCHE				FILONE		METARENARIE E QUARZITI		METABASITI		METARENARIE MICACEE, QUARZITI CON RARE METARENARIE FELDSPATICHE E METAGROVACCHE				
Formazione	ARENARIE DI SAN VITO					ARENARIE DI SAN VITO				FILONE				ARENARIE DI SAN VITO							
Zone Tettonizzate																					
Venute d'Acqua																					
Permeabilità K (m/s)																					
Aggressività																					
Classif. Bieniawski RMRb																					
Geol. Strength Index	40-55		30		40-55		30		40-55						40-55					40-55	
Peso di Volume kN/m³	26		26		26		26		26					26					26		26
Angolo di Attrito di Pico ϕ(°)																					
Coesione di Pico c(kPa)																					
Angolo di Attrito Residuo ϕ(°)																					
Coesione Residua c(kPa)																					
Resistenza a Compressione Monocassale σc (MPa)	26-70		26		26-70		26		26-70		26		26-70		26		26-70		26		26-70
Costante m	12-13		12		12-13		12		12-13		12		12-13		12		12-13		12		12-13
Costante m*	1.408-2.006		0.986		1.408-2.006		0.986		1.408-2.006		0.986		1.408-2.006		0.986		1.408-2.006		0.986		1.408-2.006
Costante Attenuazione Rocciosità "n"	0.511-0.504		0.522		0.511-0.504		0.522		0.511-0.504		0.522		0.511-0.504		0.522		0.511-0.504		0.522		0.511-0.504
Costante Attenuazione Rocciosità "k"	0.0013-0.0067		0.0004		0.0013-0.0067		0.0004		0.0013-0.0067		0.0004		0.0013-0.0067		0.0004		0.0013-0.0067		0.0004		0.0013-0.0067
Modulo di deformazione E(MPa)	2800-7860		1430		2800-7860		1430		2800-7860		1430		2800-7860		1430		2800-7860		1430		2800-7860
Sec. Tipo Gall. Idraulica	60% G3-40% G1		G4		60% G3-40% G1		G4		60% G3-40% G1		G4		60% G2-40% G1		G2		60% G2-40% G1		G2		60% G2-40% G1
Sec. Tipo Gall. di Accesso alla Centrale	60% G3-40% G1		G3		60% G3-40% G1		G3		60% G3-40% G1		G3		60% G2-40% G1		G2		60% G2-40% G1		G2		60% G2-40% G1
Sec. Tipo Gall. di Acc. al Pozzo Piezometrico	60% GP2-40% GP1		GP3		60% GP2-40% GP1		GP3		60% GP2-40% GP1		GP3		60% GP2-40% GP1		GP3		60% GP2-40% GP1		GP3		60% GP2-40% GP1
Montoraggi																					
Indagini in Avanzamento																					

"TACCU SA PRUNA"
Impianto di accumulo idroelettrico mediante pompaggio ad alta flessibilità

Comune di Esterzili (SU)

COMITENTE EDISON EDF GROUP	COORDINAMENTO / MANDANTE FROSIO NEXT	PROGETTAZIONE GEOLOGICA / MANDATARIA GEODES								
TITOLO ELABORATO Vie d'Acqua Profilo Geomeccanico		SCALA 1:2000								
CONMESSA		CODIFICA DOCUMENTO 1351-F-GD-D-01-0								
<table border="0"> <tr> <td>DATA</td><td>REDAZIONE</td><td>VERIFICATO</td><td>APPROVATO</td></tr> <tr> <td>0</td><td>PRIMA EMISSIONE</td><td>Maggio 2022</td><td>PAC</td></tr> </table>			DATA	REDAZIONE	VERIFICATO	APPROVATO	0	PRIMA EMISSIONE	Maggio 2022	PAC
DATA	REDAZIONE	VERIFICATO	APPROVATO							
0	PRIMA EMISSIONE	Maggio 2022	PAC							
<p align="right">Questo disegno non può essere riprodotto, né utilizzato altrove, né ceduto a terzi in tutto o in parte senza il consenso scritto degli autori.</p>										